

## ЭЛЕМЕНТЫ КОМПЬЮТЕРНОЙ ОПТИКИ

И.А. Бородина, М.А. Воронцов

### СИНТЕЗ ФОКУСАТОРОВ ДЛЯ ВНУТРИРЕЗОНАТОРНОЙ КОРРЕКЦИИ ТЕПЛОВЫХ ИСКАЖЕНИЙ СВЕТОВЫХ ПУЧКОВ

Для компенсации влияния крупномасштабных фазовых неоднородностей, возникающих в резонаторах мощных лазеров, предполагается эффективным использование методов внутрирезонаторной коррекции [1]. В [2] на основе решения самосогласованной задачи было исследовано влияние тепловых деформаций зеркал резонатора на расходимость выходного излучения. С целью внутрирезонаторной коррекции расходимости было предложено использовать в качестве одного из зеркал резонатора зеркало-фокусатор с заранее рассчитанной асферической формой поверхности. Для расчета оптимального профиля корректора применялись градиентные методы [1]. Вычисление градиентов проводилось в рамках решения самосогласованной задачи и привело к значительному увеличению затрат времени ЭВМ. В настоящей работе предлагается другой, более простой способ расчета формы корректирующего зеркала. Суть его сводится к следующему.

Рассматривается неустойчивый телескопический резонатор с увеличением  $M$ , деформированный вследствие нагрева. Корректором является вогнутое зеркало. Тепловые деформации и корректирующее воздействие, характеризующее отклонение формы вогнутого зеркала от первоначальной сферической, представляются в виде степенных рядов. В рамках приближения геометрической оптики выводится аналитическое выражение для разности хода  $\Delta(x)$  луча с координатой  $x$  в выходной плоскости и луча, распространяющегося вдоль оптической оси резонатора. Функция  $\Delta(x)$  учитывает искажения формы зеркал и характеризует распределение фазы выходного излучения. Из условия постоянства фазы в пределах выходной апертуры определяются коэффициенты степенного ряда, соответствующего корректирующему воздействию.

Будем рассматривать осесимметричный случай. Представим термодеформации  $w_D(x)$  и  $w_C(x)$  рассеивающего и собирающего зеркал и корректирующее воздействие  $u(x)$  в виде:

$$w_D(x) = \sum_{n=0}^{\infty} a_n x^{2n};$$

$$w_C(r) = \sum_{n=0}^{\infty} b_n r^{2n}; \quad (1)$$

$$u(r) = \sum_{n=0}^{\infty} c_n r^{2n}.$$

Разность хода рассматриваемых лучей за один полный проход резонатора можно записать следующим образом:

$$\Delta L(r) = \begin{cases} 2(w_D(0) + w_C(0) + u(0)) - w_D(r) - 2(w_C(r) + u(r)) - w_D(\frac{r}{M}), & r \in [0, r_D]; \\ 2(w_D(0) + w_C(0) + u(0)) - 2(w_C(r) + u(r)) - w_D(\frac{r}{M}), & r \in ]r_D, 1]. \end{cases} \quad (2)$$

или, если подставить (1) в (2), в виде степенного ряда:

$$\Delta L(r) = \sum_{n=0}^{\infty} \lambda_n r^{2n}, \quad (3)$$

где

$$\begin{cases} \lambda_0 = 0; \lambda_n = -a_n(1 + \frac{1}{M^{2n}}) - 2(b_n + c_n), & r \in [0, r_D]; \\ \lambda_0 = a_0; \lambda_n = -\frac{a_n}{M^{2n}} - 2(b_n + c_n), & r \in ]r_D, 1]. \end{cases}$$

После одного полного прохода через резонатор луч с координатой  $r$  в выходной плоскости придет в точку с координатой  $r/M$ . Для вычисления разности хода на следующем проходе резонатора можно использовать формулу (3), заменив в ней координату  $r$  на  $r/M$  и т.д. После суммирования  $\Delta L(r) + \Delta L(\frac{r}{M}) + \dots$  получим следующие выражения для полной разности хода рассматриваемых лучей:

$$\Delta(r) = \begin{cases} -\sum_{n=1}^{\infty} \frac{M^{2n}}{M^{2n}-1} [a_n(1 + \frac{1}{M^{2n}}) + 2(b_n + c_n)] r^{2n}, & r \in [0, r_D]; \\ -\sum_{n=1}^{\infty} \frac{2M^{2n}}{M^{2n}-1} \left[ \frac{a_n}{M^{2n}} + b_n + c_n \right] \cdot r^{2n}, & r \in ]r_D, 1]. \end{cases} \quad (4)$$

Здесь  $r_D$  — радиус рассеивающего зеркала.

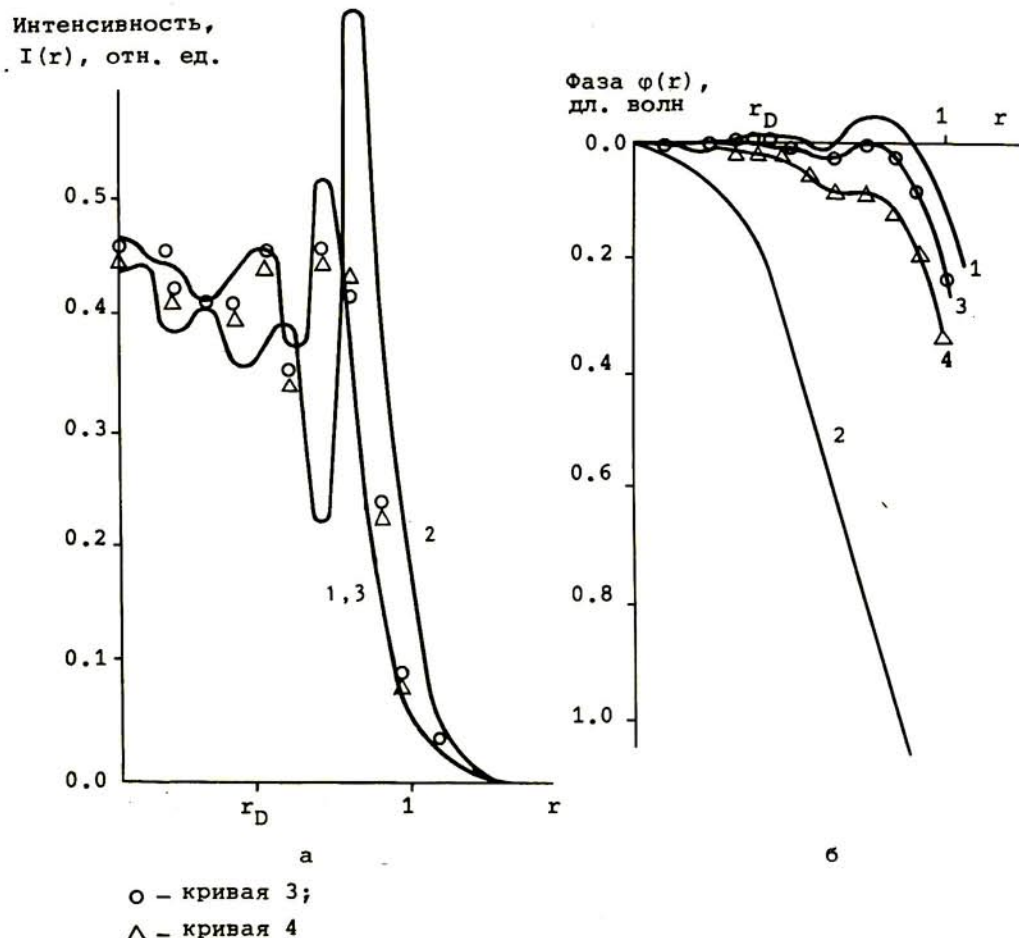
Определим, при каких  $c_n$  на интервале  $]r_D, 1]$  (в пределах выходной апертуры резонатора) выполнено равенство  $\Delta(r) = \text{const}$ . Одно из решений можно получить, приравняв к нулю коэффициенты степенного ряда (4). При этом коэффициенты  $c_n$ , представляющие корректирующее воздействие, связаны с коэффициентами степенных рядов для термодеформаций простыми соотношениями:

$$c_n = -a_n/M^{2n} - b_n. \quad (5)$$

Таким образом, если представить тепловые деформации в виде степенных рядов (1), то по формуле (5) легко определить, как нужно изменить форму корректора для того, чтобы волновой фронт излучения стал плоским.

Выражение (5) для коэффициентов  $c_n$  было получено в приближении геометрической оптики. Был проведен численный эксперимент, подтверждающий эффективность использования (5) для определения формы корректора. При этом учитывались дифракционные эффекты в резонаторе. Сначала решалась самосогласованная задача для расчета распределения поля в резонаторе с учетом термодеформаций зеркал. Затем тепловые деформации, полученные из решения такой задачи, аппроксимировались многочленами типа  $a_0 + a_1 r^2 + a_2 r^4$ , что позволяет учесть наличие в форме корректора aberrаций типа дефокусировки и сферической aberrации. С помощью (5) рассчитывалась форма корректирующего профиля, после чего решалась самосогласованная задача для поля в резонаторе, вогнутое зеркало которого имеет асферический профиль, рассчитанный для коррекции заданных искажений. Получены следующие результаты.

Если аппроксимировать точные распределения  $w_D(r)$  и  $w_C(r)$ , найденные из решения самосогласованной задачи, то использование в резонаторе корректора позволяет практически полностью устранить влияние термодеформаций. На рисунке приведены распределения интенсивности и фазы в плоскости перед выходным зеркалом резонатора, полученные для телескопического резонатора с увеличением  $M = 2.5$  и эквивалентным числом Френеля  $N_e = 5.5$ . Кривые 1 получены для невозмущенного резонатора. Кривые 2 соответствуют резонатору, деформированному вследствие нагрева, когда сумма максимальных прогибов в центре зеркал составляет величину  $w_{\Sigma} = 1.82$  дл. волны. Соответствующие распределения для резонатора с асферическим корректирующим зеркалом показаны кривыми 3, которые практически полностью совпадают с кривыми 1 для недеформированного резонатора. При этом фактор Штреля, характеризующий расходимость излучения,  $St = 1.02$ . Под фактором Штреля понимали отношение пиковой интенсивности на оси в фокусе линзы, расположенной на выходе деформированного резонатора, к соответствующему значению для невозмущенного резонатора со сферическими зеркалами.



На практике получить точную информацию о распределениях тепловых деформаций зеркал резонатора довольно сложно. Ориентируясь на практически доступные данные, подход к расчету формы корректора можно несколько изменить. Были рассмотрены два случая.

В одном случае термодеформации обоих зеркал рассчитывались по распределению интенсивности в плоскости выходного зеркала, полученному из решения самосогла-

сованной задачи, а в другом - на поверхности выходного зеркала задавалось равномерное распределение интенсивности, значение которой равнялось средней интенсивности в пределах выходной апертуры. Удалось увеличить фактор Штреля по сравнению с деформированным резонатором ( $St = 0.065$ ) в первом случае до  $St = 0.98$ , а во втором - до  $St = 0.93$ . Соответствующие распределения интенсивности и фазы выходного излучения показаны на рисунке кривыми 3 и 4.

Проведенные исследования показали, что, имея информацию о распределении поля в деформированном вследствие нагрева резонаторе, можно в приближении геометрической оптики определить форму корректирующего зеркала, использование которого внутри резонатора позволяет существенно улучшить выходные характеристики излучения.

#### Л И Т Е Р А Т У Р А

1. Воронцов М.А., Шмальгаузен В.И. Принципы адаптивной оптики. М.: Наука, 1986. 336 с.
  2. Бородина И.А., Воронцов М.А. Влияние термодеформаций зеркал резонатора на пространственную структуру излучения. Методы компенсации // Оптика атмосферы, 1988, т. 1, № 2, с. 79.
- 

*А.Е. Березкий, И.Н. Сисакян*